

## ภาคผนวก

- กิตติพงษ์ กิมพงศ์, ไพบูลย์ ประทีปสุข, สุรัตน์ ตรัยวนพงศ์ และ สมชาย วนไทยสังค์ “อิทธิพลการอบรมด้วยความร้อนหลังการเขื่อมต่อความแข็งแรงดึงของโลหะเขื่อมเสียดทานแบบกวนอุ่มนิริยมผสม AA6063” การประชุมวิชาการข่ายงานวิศวกรรมอุตสาหการ ประจำปี 2553, 13-15 ตุลาคม 2553, อุบลราชธานี, แผ่นซีดีรอม.

อิทธิพลการอบชุบด้วยความร้อนหลังการเชื่อมต่อความแข็งแรงดึง<sup>1</sup>  
ของโลหะเชื่อมเสียดทานแบบกวนอลูมิเนียมผสม AA6063

**EFFECT OF POST WELD HEAT TREATMENT ON TENSILE STRENGTH OF AA6063  
ALUMINUM ALLOY FRICTION STIR WELDS**

กิตติพงษ์ กิมพงษ์\* ไพบูลย์ ประทีปสุข<sup>1</sup> สุรัตน์ ตรัยวนพงศ์<sup>1</sup> สมชาย วนไทยสังค์<sup>1</sup>  
ภาควิชาวิศวกรรมอุตสาหการ คณะวิศวกรรมศาสตร์ มหาวิทยาลัยเทคโนโลยีราชมงคลธัญบุรี  
อําเภอธัญบุรี จังหวัดปทุมธานี รหัสไปรษณีย์ 12110  
E-mail: kkimapong@hotmail.com\*

**บทคัดย่อ**

บทความนี้มีจุดประสงค์เพื่อศึกษาอิทธิพลการอบชุบด้วยความร้อนหลังการเชื่อมต่อสมบัติของรอยเชื่อมอลูมิเนียมผสม AA6063 และเปรียบเทียบความสัมพันธ์ระหว่างความแข็งแรงดึงและโครงสร้างจุลภาคของรอยเชื่อมอลูมิเนียมผสม AA6063 ที่ผ่านการอบชุบด้วยความร้อนหลังการเชื่อม แผ่นอลูมิเนียมผสม AA6063 หนา 6.3 มม. กว้าง 75 มม. ยาว 200 มม. ถูกนำไปทำการอบอ่อนที่อุ่นหม้อน้ำที่กำหนด และนำมาทำการเชื่อมด้วยความเร็วรอบ 2000 รอบต่อนาที และความเร็วเดินแนวเชื่อม 125 มม./นาที ชิ้นงานที่ได้จากการเชื่อมถูกนำไปอบชุบแบบ T4 และ T6 ทำการทดสอบสอบสมบัติของชิ้นงาน ผลการทดลองโดยสรุปมีดังนี้ ค่าความแข็งแรงดึงและร้อยละการยืดด้วยของโลหะเชื่อมมีค่าเพิ่มขึ้นเมื่อโลหะเชื่อมผ่านการบ่มแข็งด้วยวิธี T4 และ T6 ตามลำดับ นอกจากนั้นมีอัตราการลดน้ำหนักหลังการบ่มเพียง 1% สัปดาห์เพื่อทำให้เกิดการบ่มแข็งธรรมชาติแล้วนำไปทำการบ่มแข็งด้วยวิธี T4 และ T6 พบร่วมกันนี้ว่าความแข็งแรงของรอยต่อมีค่าความแข็งแรงสูงกว่าวิธีการอบชุบทันทีเท่ากับ 25 และ 45% สำหรับการบ่มแข็งด้วยวิธี T4 และ T6 ตามลำดับ

**คำสำคัญ :** การเชื่อมเสียดทานแบบกวน, การอบชุบหลังการเชื่อม, อลูมิเนียม, โครงสร้างจุลภาค

**Abstract**

This article aims to study the effect of the post weld heat treatment on friction stir welds properties of AA6063 aluminum alloy and compare the relation between tensile strength and microstructure of the AA6063 aluminum alloy post weld heat treated welds. The plates of AA6063 aluminum alloy that had dimension of 6.3 mm thick, 75 mm. wide and 200 mm. long were annealed at a given temperature and welded by a rotating speed of 2000 rpm and a welding speed of 125 mm/min. The welded specimens were T4 and T5 heat treated and then welds properties tested. The summarized results are as follows. The tensile strength and the elongation of the welds were increased when the welds were T4 and T5 heat treated, respectively. Furthermore, when the welded specimen was natural aged for 1 week and then, immediately T4 and T6 heat treated. It was found that the tensile strength of the welds was higher than that of no natural aging by 25 and 45% for T4 and T6 heat treatment, respectively.

**Keywords:** Friction stir welding, Post weld heat treatment, Aluminum, Microstructure

**1. บทนำ**

อลูมิเนียมกลุ่ม 6063 คือ โลหะผสมอลูมิเนียมที่มีธาตุผสมหลัก คือ แมกนีเซียมและซิลิกอน ที่มีสมบัติทางกล

ค่อนข้างดี สามารถทำการอบชุบได้ และสามารถทำการเชื่อมได้ จุดเด่นของอลูมิเนียมเกรด 6063 คือ การที่โครงสร้างจุลภาคประกอบไปด้วยเฟสเสริมแรงกระจายทั่ว

ทั้งพื้นหลัง (Matrix) ของอลูมิเนียม ทำให้โครงสร้างมีความแข็งแรงเพิ่มขึ้น (ASM international, 2000) การใช้งาน อลูมิเนียมเกรดนี้ นิยมใช้สำหรับงานโครงสร้างใน อุตสาหกรรมเพอร์ฟิล เนื่องจาก หน้าต่าง กำแพง ใต้ชั้น ส่วนรถไฟ ชั้นส่วนรถยนต์ หรือในอุตสาหกรรมที่ต้องการชั้นส่วน อลูมิเนียมที่มีความแข็งแรงสูง เป็นต้น (Metal suppliers online, 2008)

การนำเอาระบบอลูมิเนียมเกรด 6063 มาใช้งานในงาน อุตสาหกรรม การเชื่อมต่ออลูมิเนียมเข้ากับโครงสร้างหลัก นับว่าเป็นสิ่งสำคัญที่วิศวกรต้องคำนึง เพื่อทำให้ได้ โครงสร้างของชิ้นงานที่มีความมั่นคงแข็งแรงเพียง พอดี กับการรับแรงที่กระทำ หนึ่งในกรรมวิธีการต่อโลหะที่มี ประสิทธิภาพสูงในการต่อวัสดุ คือ การเชื่อม (Welding) ที่ โลหะเชื่อมจะเกิดการหลอมละลายติดกันอย่างสมบูรณ์และ แสดงความแข็งแรงสูง อย่างไรก็ตามในการเชื่อมอลูมิเนียม เกรด 6063 ด้วยการเชื่อมแบบหลอมละลายนั้นไม่ได้เกิดขึ้น ได้ด้วยนัก แม้ว่าอลูมิเนียมเกรดนี้จะมีความสามารถในการ เชื่อมได้ (ASM international, 2000) เนื่องจากโดยปกติบน ผิวอลูมิเนียมจะเกิดฟิล์มบางที่มีสมบัติเป็นชนวนที่มีจุด หลอมละลายสูงปักถมอยู่ ทำให้อลูมิเนียมเกิดการหลอม ตัวได้ยาก และเมื่อผิวอลูมิเนียมได้รับอุณหภูมิสูงเกินจุด หลอมเหลวของพิล์มบาง ทำให้อลูมิเนียมที่ปักติดมีจุด หลอมเหลวประมาณ  $685^{\circ}\text{C}$  นั้นเกิดหลอมละลายและระเหย ออกจากแนวเชื่อมอย่างรวดเร็ว (Jefferson and Wood, 1990) นอกจากนั้นความร้อนที่เกิดจากการหลอมอลูมิเนียม นี้ยังส่งผลทำให้เฟสเสริมแรงต่างๆ ในอลูมิเนียมเกิดการตก ผลึกบริเวณขอบเกรนของอลูมิเนียม ลักษณะการเกิดแบบนี้ ทำให้อลูมิเนียมเกิดความประยะและมีค่าความแข็งแรงลดลง (Avner, 1974) นอกจากนั้นการเชื่อมแบบหลอมละลายมัก ทำให้เกิดโครงสร้างเดนไทรท์ที่มีความแข็งแรงสูง และเกิดการ แยกตัวของส่วนผสมทางเคมีในโครงสร้างจุลภาค (Micro segregation) ซึ่งเป็นลักษณะที่ไม่พึงประสงค์ในการเชื่อม โลหะ (Thomas et al., 1991)

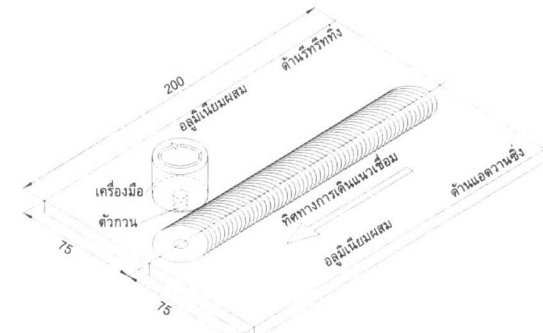
การเชื่อมด้วยแรงเสียดทานแบบกวน (Friction Stir Welding: FSW) เป็นกระบวนการเชื่อมในสภาวะของแข็งที่ มีการใช้งานอย่างแพร่หลายในงานอุตสาหกรรม เพื่อเชื่อม วัสดุที่มีความยากต่อการเชื่อมด้วยกระบวนการเชื่อมหลอม ละลาย (Conventional Fusion Welding) เช่น อลูมิเนียม ผสม และแสดงการประยุกต์ใช้อย่างมีประสิทธิภาพใน อุตสาหกรรมการผลิตเครื่องบิน รถยนต์ และเรือเดินสมุทร (Thomas and Niclous, 1997) จากผลของการเชื่อมที่แสดง

ค่าความแข็งแรงของรอยต่ออลูมิเนียมที่มีประสิทธิภาพสูง ได้ (Lee et al., 2003) โครงสร้างจุลภาคของแนวเชื่อมที่ได้ จากกระบวนการนี้แสดงให้เห็นการกระจายตัวของเฟส เสริมแรง เช่น การเกิดการตกตะกอนของเฟสเสริมแรงที่มี ขนาดใหญ่ประมาณ 50-75 นาโนเมตร แต่หลังจากให้ความร้อนชั่วลงไปในบริเวณแนวเชื่อม พบว่าความแข็งแรงของ แนวเชื่อมสามารถเพิ่มขึ้นได้ (Chawla et al., 2000)

ด้วยเหตุนี้ในงานวิจัยนี้จึงศึกษาการใช้ ความร้อนต่อแนวเชื่อมตามวิธีการอบคืนไฟในกระบวนการผลิต เพื่อทำการศึกษาเปลี่ยนเที่ยนการเปลี่ยนแปลงสมบัติ ของแนวเชื่อม เช่น ค่าความแข็งแรง ความแข็ง หรือการ กระจายตัวของเฟสเสริมแรง เพื่อให้ได้ข้อมูลพื้นฐานในการ พัฒนาโลหะเชื่อมอลูมิเนียมเกรด 6063 ให้มีค่าความแข็งแรงสูงต่อไป

## 2. วิธีการดำเนินการ

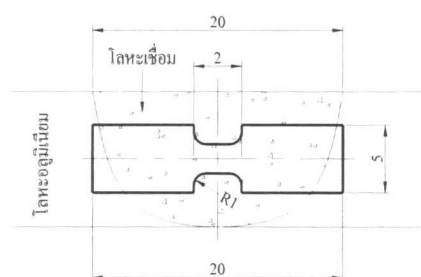
วัสดุในการทดลอง คือ อลูมิเนียมแผ่นเกรด 6063-T1 (94.7%Al-0.4%Mg-0.05%Mn-0.01%Cr-0.02%Cu โดยน้ำหนัก 6.3 ม.ม. ที่มีความแข็งแรงดึงสูงสุดประมาณ 210 MPa แผ่นอลูมิเนียมถูกเตรียมให้มีรูปร่างเป็นสี่เหลี่ยมผืนผ้าขนาดกว้าง 75 มม. และยาว 200 มม. จากนั้นนำแผ่นอลูมิเนียมที่ได้ไปทำการอบอ่อนที่อุณหภูมิ 413 องศาเซลเซียสและปล่อยให้เย็นในเตา



รูปที่ 1 การเชื่อมเสียดทานแบบกวนอลูมิเนียม 6063-O

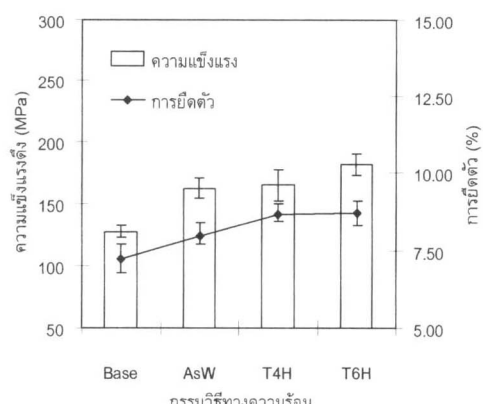
แผ่นอลูมิเนียมที่ผ่านการอบอ่อนถูกนำมาทำการ เชื่อมเสียดทานแบบกวนดังแสดงในรูปที่ 1 ด้วยเครื่องมือ เชื่อมที่มีเส้นผ่านศูนย์กลางบ่าเครื่องมือเชื่อม 25 มิลลิเมตร ตัวกว่างรูปทรงกระบอกเกลียวมาตรฐาน M6 ความเร็วรอบ 2000 รอบต่อนาที ความเร็วเดินแนวเชื่อม 125 มิลลิเมตร ต่อนาที ความเอียงของตัวกวน 2 องศา ซึ่งเป็นสภาวะการ เชื่อมที่ให้ค่าความแข็งแรงดึงสูงสุดของรอยเชื่อมเสียดทาน

แบบกวนอลูมิเนียมผสม 6063-T1 (กิตติพงษ์ กิมพงษ์ และ คงะ, 2551) ชิ้นงานที่ได้จากการเชื้อมถูกแบ่งออกเป็น 2 กลุ่ม คือ กลุ่มที่ 1 หลังจากทำการเชื่อมเสร็จนำไปทำการอบคืนไฟ T4 ที่ 520 องศาเซลเซียส และ T6 ที่ อุณหภูมิ 175 องศาเซลเซียสทันที จากนั้นทำการทดสอบสมบัติ ความแข็งแรงดึงโดยชิ้นงานที่มีรูปร่างดังแสดงในรูปที่ 2 และตรวจสอบโครงสร้างจุลภาค ขณะที่กลุ่มที่ 2 หลังจากทำการเชื่อมเสร็จให้ปล่อยไว้ที่อุณหภูมิห้องเป็นเวลา 168 ชั่วโมง หรือ 1 สัปดาห์ จากนั้นทำการอบคืนไฟ T4 ที่ 520 องศาเซลเซียส และ T6 ที่ อุณหภูมิ 175 องศาเซลเซียส ชิ้นงานที่ผ่านการอบคืนไฟถูกนำไปทำการทดสอบสมบัติ ความแข็งแรงดึง และตรวจสอบโครงสร้างจุลภาคต่อไป



รูปที่ 2 ชิ้นทดสอบความแข็งแรงดึงของชิ้นงานที่มีความหนา 3 มม. (หน่วยโดยประมาณ: มม.)

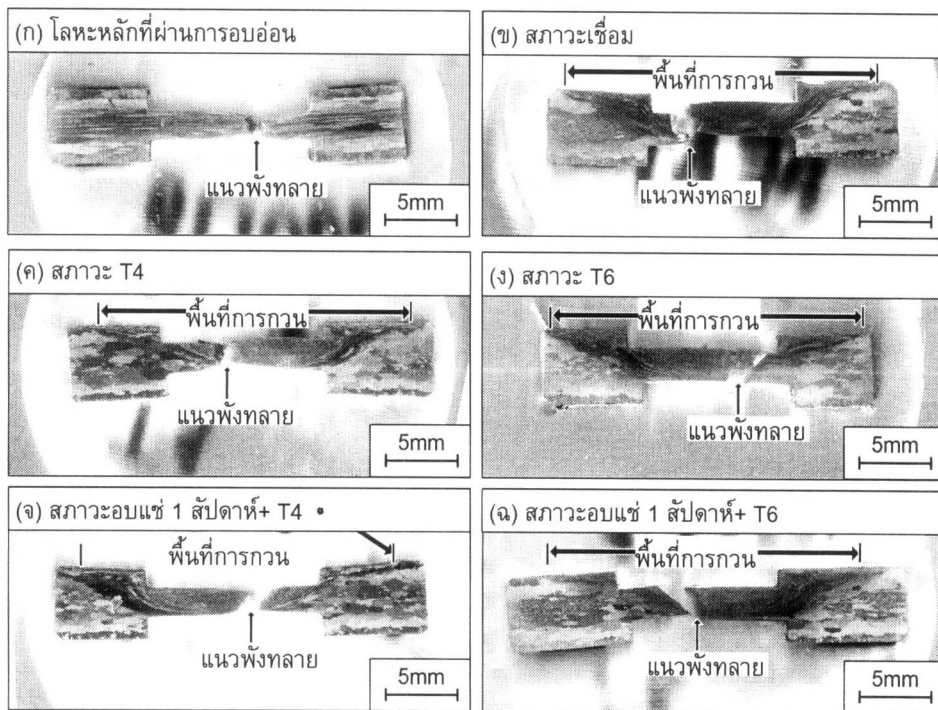
## 2. ผลการทดลองและการวิเคราะห์



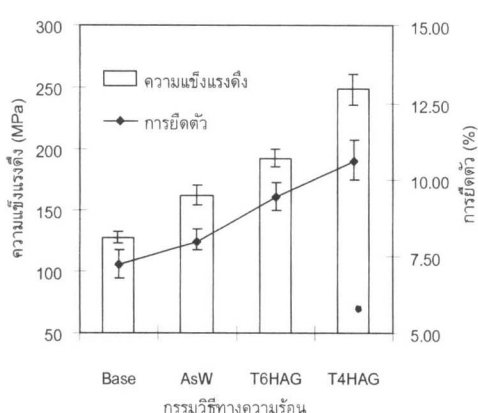
รูปที่ 3 ความสัมพันธ์ระหว่างความแข็งแรงดึง ร้อยละการยืดด้วยแรง และการอบคืนไฟแบบต่างๆ ของชิ้นงานที่ไม่ผ่านการบ่มแข็งธรรมชาติ

รูปที่ 3 แสดงความสัมพันธ์ระหว่างความแข็งแรงดึง ร้อยละการยืดด้วยแรง และการอบคืนไฟแบบต่างๆ ของชิ้นงานที่ไม่ผ่านการบ่มแข็งธรรมชาติ ตัวอักษรในแกน X มีความ

หมายดังนี้ Base คือ ความแข็งแรงของอลูมิเนียมหลังจากการอบอ่อน AsW คือ โลหะเชื่อมที่ได้จากการนำเอาอุณหภูมิ เนียมที่ผ่านการอบอ่อนไปทำการเชื่อม แต่ไม่ผ่านกระบวนการ การทางความร้อนได้ๆ T4H คือ โลหะเชื่อมที่ผ่านการอบคืนไฟวิธี T4 และ T6H คือ โลหะเชื่อมที่ผ่านการอบคืนไฟวิธี T6 ผลการทดลองพบว่า อลูมิเนียมที่ผ่านการอบอ่อนที่อุณหภูมิ 413 องศาเซลเซียส มีค่าความแข็งแรงลดลง 30% เมื่อเปรียบเทียบกับอลูมิเนียมจากห้องทดลอง ก่อนการนำมาทำการอบอ่อน อลูมิเนียมที่ผ่านการอบอ่อนแล้วนำมาทำการเชื่อมด้วยสภาวะการเชื่อมที่กำหนด พบร่วมค่าความแข็งแรงดึงของโลหะเชื่อมนั้นมีค่าเพิ่มสูงขึ้นเมื่อเปรียบเทียบกับโลหะหลักที่ค่าเฉลี่ยประมาณ 27% ขณะที่โลหะที่ผ่านการเชื่อมแล้วนำไปทำการอบซับด้วยกรรมวิธี T4 และ T6 นั้นมีค่าความแข็งแรงดึงสูงขึ้นเมื่อเปรียบเทียบกับอลูมิเนียมก่อนการเชื่อมที่ค่าประมาณ 30 และ 40% ตามลำดับ ทำการเปรียบเทียบรูปแบบการพังทลายของชิ้นทดสอบแรงดึงแสดงในรูปที่ 4 (ก) ถึง (จ) พบว่ารูปแบบการพังทลายมีความแตกต่างกัน คือ ชิ้นงานที่ผ่านสภาวะการอบอ่อน สภาวะการเชื่อมที่ไม่ผ่านการอบซับ และสภาวะการอบซับ T4 นั้น แนวการพังทลายมีลักษณะการฉีกขาดเป็นกรวยดังแสดงในรูปที่ 4 (ก) ถึง (ค) ขณะที่ชิ้นงานที่ผ่านการอบซับ T6 นั้น มีแนวการพังทลายเป็นแนวยาวทำมุมเมืองกับแนวนานของชิ้นทดสอบที่ค่า-ประมาณ 40-60 องศา คาดว่ารูปแบบการพังทลายที่แตกต่างนี้ส่งผลทำให้เกิดความแข็งแรงที่แตกต่าง กันว่า กล่าวคือ ในสภาวะโลหะอลูมิเนียมที่ผ่านการอบอ่อนและผ่านการเชื่อมนั้นชิ้นงานมีค่าความแข็งแรงและค่าการยืดด้วยแรงที่มีค่าต่ำเนื่องจากการเกิดการพังทลายในรูปแบบที่ไม่เป็นเส้นตรงและไม่เป็นการพังทลายแบบถ่ายและกรวย (Cup and cone fracture) (Dieter, 1988) แต่เป็นลักษณะที่คล้ายกับการเกิดเส้นซิกแซกดังแสดงในรูปที่ 4 (ก) ถึง (ค) แนวการพังทลายนี้แตกต่างจากการเกิดการพังทลายในโลหะเชื่อมที่ผ่านการอบซับด้วยความร้อนตามกรรมวิธี T6 ดังแสดงในรูปที่ 4 (จ) ที่แสดงการเกิดการพังทลายเมืองทำมุม กับแนวแรงที่แสดงให้เห็นถึงความแข็งแรงที่เพิ่มขึ้นจากการเพิ่มขึ้นนี้คาดว่าเกิดจากการพังทลายที่เกิดขึ้นบนระนาบการเลื่อนไกล์ซึ่งในสัดส่วนมีค่าทำมุม  $45^\circ$  (Abbaschian et al., 2010) หรืออาจเกิดจากการตกลงลักษณะของอนุภาคบางอย่างในเนื้ออลูมิเนียมซึ่งต้องทำการหาสาเหตุของการเกิดด้วยกล้องกำลังขยายสูง เช่น กล้องอิเล็กตรอนแบบส่องผ่าน (Transmission electron microscope: TEM) ต่อไป



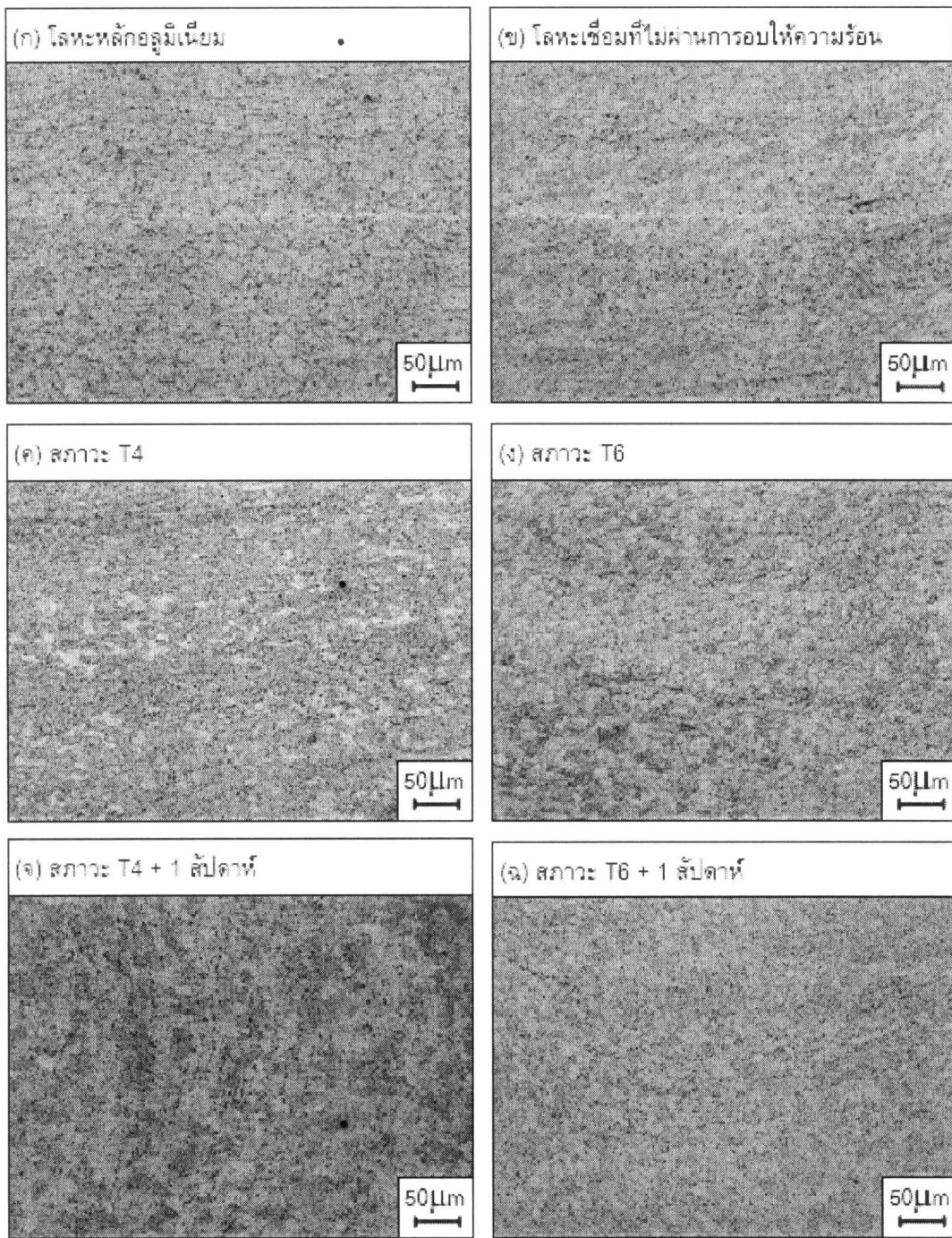
รูปที่ 4 ตำแหน่งการพังทลายของชิ้นทดสอบความแข็งแรงดึง



รูปที่ 5 ความสัมพันธ์ระหว่างความแข็งแรงดึง ร้อยละการยืดตัว และการอับศีร์ไฟแบบต่างๆ ของชิ้นงานที่ผ่านการบ่มแข็งธรรมชาติ

รูปที่ 5 แสดงผลการทดสอบความแข็งแรงดึงและการยืดตัวของโลหะเชื่อม ที่ผ่านการบ่มแข็งธรรมชาติเป็นเวลา 168 ชม. หรือ 1 สัปดาห์ พบร่วมกับการบ่มแข็งธรรมชาติ 1 สัปดาห์ก่อนการอบชุบส่งผลต่อการเพิ่มขึ้นของค่าความแข็งแรงและการยืดตัวของโลหะเชื่อม กล่าวคือ ค่าความแข็งแรงของโลหะเชื่อมเพิ่มขึ้นประมาณ 34 และ 49% และมีค่าการยืดตัวเพิ่มขึ้น 30 และ 47% สำหรับการอบชุบด้วยวิธี T4 และ T6 ตามลำดับ เมื่อเปรียบเทียบกับโลหะอลูมิเนียมที่ผ่านการอบชุบ นอกจากนี้เมื่อเปรียบเทียบโลหะเชื่อมที่ไม่ผ่านการบ่มแข็งธรรมชาติ ค่าความแข็งแรงของโลหะเชื่อมมีค่าสูงกว่าประมาณ 16 และ 37% และมีค่าการยืดตัวที่สูงกว่าประมาณ 10 และ 22% สำหรับการอบชุบด้วยวิธี T4 และ T6 ตามลำดับ รูปแบบการพังทลายของชิ้นทดสอบแรงดึงในบริเวณโลหะเชื่อมดังแสดงในรูปที่ 4 (จ) และ (ฉ) มีลักษณะคล้ายกับการเกิดการพังทลายของชิ้นทดสอบแรงดึงที่ไม่ได้ผ่านการบ่มแข็งธรรมชาติก่อนการทำการอบชุบแบบ T6 ดังแสดงในรูปที่ 4 (ง) กล่าวคือ รูปแบบการพังทลายนี้ เอียงทำมุมกับแนวแรงหรือแนวข้างตามความยาวของชิ้นงานทดสอบประมาณ  $45^{\circ}$  ซึ่งคาดว่าเป็นการเกิดการฉีกขาดด้วยเอื่อนตามระนาบการลีน์ไอลของวัสดุหนี่ยว (Abbaschian *et al.*, 2010) การเพิ่มความแข็งแรงของโลหะเชื่อมเมื่อทำการบ่มแข็งธรรมชาติไว้ที่ 1 สัปดาห์ก่อนนำไปทำการอบชุบนั้น คาดว่ามีความสอดคล้องกับการศึกษาผลของการบ่มแข็งสองขั้นและทางเดงต่อความแข็งแรงของบริเวณกระทบความร้อนในการเชื่อม AA6061 (วุ่งอรุณ, 2550) ที่กล่าวว่า การเพิ่มความแข็งแรงของโลหะเชื่อมและบริเวณพื้นที่กระทบความร้อนนั้นเกิดจากการกระจายตัวของอนุภาคอลูมิเนียม-

ห้องแดงที่ติดต่อกันในโครงสร้างเข้าไปในพื้นที่จีพี (GP zone) และทำให้ดิสโลเกชันมีการเคลื่อนที่ได้มากขึ้น อย่างไรก็ตามคำกล่าวถัดล่าวนี้ไม่ได้ทำการศึกษาเพื่อยืนยัน ในบทความวิจัยนี้ และจำเป็นต้องทำการศึกษาในอนาคตต่อไป



รูปที่ 6 โครงสร้างอุลภาคนิวเคลียติกลายของชิ้นทดสอบความแข็งแรงดึงของชิ้นงานที่ผ่านการบ่มแข็งธรรมชาติ

รูปที่ 6 แสดงโครงสร้างอุลภาคนิวเคลียติกลายของโลหะเชื่อมบริเวณพื้นที่การวน (Stir zone) ของโลหะเชื่อมที่สภาวะต่างๆ พบว่าที่สภาวะโลหะหลักที่ผ่านการอบอ่อนก่อนการเชื่อม

นั้นโลหะมีเม็ดเกรนที่ใหญ่และกลมมน ทำการวัดขนาดเกรนด้วยวิธีการลากเส้นตัดผ่านเกรน (Linear Interception) ตามมาตรฐาน ASTM E112 ([www.metallography.com](http://www.metallography.com),

2008) พนว่ามีขนาดเกรนเฉลี่ยประมาณ 53.99 ไมโครเมตร ขณะที่โลหะเชื่อมที่ผ่านการเชื่อมเสียดทานแบบกวนนั้นมีขนาดเม็ดเกรนที่ลดขนาดลงมาที่ขนาดเม็ดเกรนเฉลี่ยน ประมาณ 25.12 ไมโครเมตร ซึ่งมีขนาดที่เล็กกว่าอุณหภูมิเนียม หลักที่ผ่านการอบอ่อนประมาณ 50 % เม็ดเกรนที่มีความละเอียดและรูปร่างที่กลมมนั้นนี้เกิดจากกระบวนการเชื่อมด้วยการเสียดทานแบบกวนนี้ก่อให้เกิดผลลัพธ์ใหม่ (Dynamic Re-crystallization) ของอุณหภูมิเนียมขึ้น (Jata and Semiatin, 2000) และเมื่อเปรียบเทียบกับโลหะเชื่อมเสียดทานอุณหภูมิเนียมผสม AA6063-T1 ที่มีขนาดเกรนเฉลี่ย 24.42 ไมโครเมตร แล้วพบว่าขนาดของเม็ดเกรนของโลหะเชื่อมที่สภาวะการเชื่อมเดียวกันแต่สัดส่วนหลักแตกต่างกันสามารถทำให้ได้เม็ดเกรนที่ใกล้เคียงกันได้ (กิตติพงษ์ และคณะ, 2551) ขนาดของเม็ดเกรนมีการปรับขนาดที่เล็กลงตามลำดับเมื่อทำการนำโลหะเชื่อมมาทำการอบด้วยความร้อนที่สภาวะ T4 และ T6 ดังแสดงในรูปที่ 6 (ค) และ (ง) โดยขนาดเม็ดเกรนเฉลี่ยมีค่าประมาณ 21.68 และ 19.62 ไมโครเมตร สำหรับสภาวะ T4 และ T6 ตามลำดับอย่างไรก็ตามสภาวะ T6 มีขนาดเกรนที่กลมมนและเป็นระเบียบมากกว่า การลดขนาดและการเรียงตัวอย่างเป็นระเบียบของเม็ดเกรนโลหะนี้ คาดว่าเป็นสาเหตุที่ทำให้ค่าความแข็งแรงของโลหะเชื่อมที่ผ่านการอบให้ความร้อนหลังการเชื่อมมีค่าสูงขึ้น

รูปที่ 6 (จ) และ (ง) แสดงโครงสร้างจุลภาคบริเวณพื้นที่การกวนของโลหะเชื่อมที่ผ่านการบ่ม เชิงชาร์มชาติ เป็นเวลา 1 สัปดาห์ก่อนนำไปโลหะเชื่อมไปทำการอบชุมด้วยความร้อนด้วยสภาวะ T4 และ T6 ตามลำดับ ผลการตรวจสอบโครงสร้างจุลภาคพบว่า ขนาดเม็ดเกรนของโลหะเชื่อมทั้งสองสภาวะ มีขนาดที่เล็กลงไม่มากนัก เมื่อเปรียบเทียบกับสภาวะที่ไม่ผ่านการบ่ม เชิงชาร์มชาติกล่าวถึง ขนาดเม็ดเกรนเฉลี่ยนั้นมีค่าประมาณ 19.23 และ 18.33 ไมโครเมตร สำหรับสภาวะ T4+1 สัปดาห์ และ T6+1 สัปดาห์ ตามลำดับ อย่างไรก็ตามเมื่อเปรียบเทียบค่าความแข็งแรงที่เพิ่มขึ้นสูงดังแสดงในรูปที่ 5 แล้วเป็นสิ่งที่น่าสนใจที่ต้องมีการศึกษาต่อไป ในเบื้องต้นการเพิ่มขึ้นของค่าความแข็งแรงของโลหะเชื่อมนี้คาดว่าเกิดจากการแตกผลลัพธ์ของอนุภาคสารประกอบโลหะ หรือกึ่งโลหะในโครงสร้างอุณหภูมิเนียมทำให้เกิดการขัดขวางการเคลื่อนที่ของสิ่งเคลื่อนที่ในโครงสร้าง เช่นสิ่งที่ทำให้ค่าความแข็งแรงของโลหะเชื่อมมีค่าเพิ่มขึ้น (Sato and Kokawa, 2001)

### 3. สรุปผลการทดลอง

- 3.1 ค่าความแข็งแรงดึงและร้อยละการยึดตัวของโลหะเชื่อมค่าเพิ่มขึ้นเมื่อโลหะเชื่อมผ่านการบ่ม เชิงชาร์ม วิธี T4 และ T6 ตามลำดับ
- 3.2 เมื่อนำโลหะเชื่อมพักไว้ 1 สัปดาห์เพื่อทำให้เกิดการบ่ม เชิงชาร์มชาติแล้วนำไปทำการบ่ม เชิงชาร์ม วิธี T4 และ T6 พบว่าความแข็งแรงของรอยต่อ มีค่าความแข็งแรงสูงกว่าวิธีการอบชุมทันทีเท่ากับ 25 และ 45% สำหรับการบ่ม เชิงชาร์ม วิธี T4 และ T6 ตามลำดับ
- 3.3 โครงสร้างจุลภาคของโลหะเชื่อมแสดงแนวโน้มการเปลี่ยนแปลงขนาดเกรนเมื่อทำการอบคืนไฟด้วยวิธีการ T4 และ T6 ตามลำดับ

### กิตติกรรมประกาศ

งานวิจัยนี้ได้รับทุนสนับสนุนการวิจัย ประจำปีงบประมาณ 2553 จากมหาวิทยาลัยเทคโนโลยีราชมงคลชั้นนำ บุรี

### บรรณาธุกิจ

กิตติพงษ์ กิมพงศ์ นราธิป แสงชัย และสังกรันต์ บางศรัณย์กิพย์. 2551. อิทธิพลรูปร่างตัวกวนการเชื่อมด้วยการเสียดทานแบบกวนต่อความต้านทานแรงดึงของรอยต่อชนิดอุณหภูมิเนียม AA6063-T1. วารสารวิกรรมศาสตร์ มหาวิทยาลัยสยาม. ปีที่ 9 ฉบับที่ 2 เล่มที่ 17 หน้า 19-25.

เชาวลิต ลิมมณีวิจิตร รุ่งอรุณ ออมสุวรรณกุล ศุภกิจ เศกคิริ. 2550. ผลของช่วงเวลาอบที่มีผลต่อการปลีนแปลงค่าความแข็งที่เกิดขึ้นบริเวณ HAZ ในการเชื่อมอะลูมิเนียมเกรด 6063 การประชุมข่ายงานวิศวกรรมอุตสาหการ ประจำปี 2550. 24-26 ตุลาคม 2550. ภูเก็ต หน้า 887-890.

พันธุ์พงษ์ คงพันธุ์ บุญส่อง จงกลนี และ กิตติพงษ์ กิมพงศ์. 2551. อิทธิพลความเร็วเดินแนวของ การเชื่อมด้วยการเสียดทานแบบกวนต่อความแข็งแรงของรอยต่อชนิดอุณหภูมิเนียม 6063-T1. การประชุมวิชาการทางวิศวกรรมศาสตร์มหาวิทยาลัยสงขลานครินทร์ ครั้งที่ 6 8-9 พฤษภาคม 2551 หน้า 561-566.

รุ่งอรุณ ออมสุวรรณกุล. 2550. วิทยานิพนธ์วิศวกรรมศาสตร์มหาบัณฑิต เรื่อง ผลของการบ่ม เชิงชาร์มของส่อง ขั้นและห้องแดงต่อความแข็งแรงของบริเวณกระ-

- ทบทวนการร้อนในการเชื่อม AA6061. มหาวิทยาลัยเทคโนโลยีพระจอมเกล้าธนบุรี.
- Abbaschian R., Abbaschian L, 2010. **Reed-hill R.E. Physical Metallurgy Principles.** USA: Cengage Learning.
- ASM International. 2000. **ASM Handbook Volume 2 Properties and Selection: Nonferrous Alloy and Special-Purpose Materials.** USA: ASM International.
- Avner S.H. 1974. **Introduction to Physical Metallurgy.** USA: Mc Graw Hill Book Company. p.190.
- Dieter G. 1988. **Mechanical Metallurgy.**
- Groover M.P. 2007. **Fundamentals of Modern Manufacturing, Materials, Processes and Systems.** USA: John Wiley&Sons, Inc.. pp. 112-121.
- Jata, K.V. and Semiatin, S.L. 2000. **Continuous Dynamic Recrystallization during Friction Stir Welding of High Strength Aluminum Alloys.** Scripta Mater. 43: 743–749.
- Jefferson T.B. and Woods G. 1990. **Metals and How to Weld them.** USA: The James F. Lincoln Arc Welding Foundation. pp. 267-285.
- Lee W.B., Yeon Y.M. and Jung S.B. 2003. **The Improvement of Mechanical Properties of Friction stir welded A356 Al Alloy.** Mater. Sci. and Eng. A. 355: 154-159.
- Metal Suppliers Online. 2008. **Metal Suppliers Online.** <http://www.suppliersonline.com>, 20 August.
- Thomas W.M., Nicholas E.D., Needham J.C., Murch M.G., Templesmith P. and Dawes C.J. 1991. **Friction Stir Welding.** G.B. Patent Application 1991 No.9125978.8.
- Thomas W.M. and Nicholas E.D. 1997. **Friction Stir Welding for the Transportation Industries.** Materials and Design. 18: 269-273.
- Sato Y.S. and Kokawa H.. 2001. **Distribution on Tensile Property and Microstructure in Friction Stir Weld of 6063 Aluminum.** Metallurgical and Materials Trans. A. 32A: 3023-3031.
- [www.metallography.com/grain.htm](http://www.metallography.com/grain.htm), January 15, 2008.



ເອກສະໜັບ CD-ROM

ຕິດຕໍ່ອົບຮຽນາວັກຜູ້

